

УДК 539.37+537.226.4

© 1991

**ЭЛЕКТРОПЛАСТИЧЕСКИЙ ЭФФЕКТ
В ПОЛЯРИЗОВАННЫХ СЕГНЕТОЭЛЕКТРИЧЕСКИХ КРИСТАЛЛАХ
 NaNO_2**

В. И. Николаев, Н. А. Перцев, Б. И. Смирнов

Экспериментально изучалось воздействие внешнего непереключающего электрического поля на диаграммы деформирования предварительно поляризованных сегнетоэлектрических кристаллов NaNO_2 . Обнаружено, что напряжение течения образцов с системой скольжения (010)[100] в поле возрастает, что объясняется наличием у дислокаций эффективного электрического заряда. Рассмотрены два типа дислокационных зарядов: поляризационный, обусловленный спонтанной поляризацией кристалла, и вакансийный, связанный с захватом катионных вакансий ядром скользящей дислокации. Проведены теоретическое обсуждение наблюдаемого эффекта и численные расчеты его полевой зависимости. Сопоставление теории и эксперимента позволило оценить полный электрический заряд краевых дислокаций разных механических знаков в системе (010)[100].

Ранее [1] при изучении воздействия электрического поля на диаграммы деформирования сегнетоэлектрических кристаллов нитрита натрия был обнаружен и исследован поляризационный электропластический эффект (ЭППЭ), связанный с перестройкой доменной структуры кристалла при переходе в полярное состояние или переполяризации. ЭППЭ по своей природе и макроскопическим проявлениям существенно отличается от известных электропластических эффектов (ЭПЭ) в полупроводниковых [2] и щелочно-галоидных [3, 4] кристаллах, обусловленных наличием у дислокаций электрических зарядов. С другой стороны, в сегнетоэлектриках, согласно теоретическим представлениям [5], также возможно существование заряженных дислокаций и связанных с ними ЭПЭ обычного типа. Выполненное нами экспериментальное исследование [6] деформационной электризации кристаллов NaNO_2 позволило заключить, что в этом сегнетоэлектрике определенные дислокации действительно имеют электрический заряд. Исходя из этого, в настоящей работе были поставлены специальные эксперименты с целью обнаружения ЭПЭ в предварительно поляризованных кристаллах NaNO_2 , когда ЭППЭ исключается.

1. Экспериментальная методика

В работе использовались монокристаллы NaNO_2 , выращенные из расплава методом Киропулоса. Сырьем для получения кристаллов служил трижды перекристаллизованный материал марки ХЧ. После выращивания все кристаллы подвергались отжигу в течение 48 ч при 500 К. Рабочие образцы вырезались нитяной пилой в виде прямоугольных параллелепипедов с размером $3 \times 3 \times 6$ мм. Кристаллографические ориентации образцов выбирались так, чтобы их можно было деформировать пластиически по известным системам скольжения (001)[100] и (010)[100] [7]. Расположение плоскостей скольжения и вектора Бюргерса в скользящих дислокациях в кристалле, а также типы используемых образцов пред-

ставлены на рис. 1. Деформирование кристаллов осуществлялось одноосным сжатием в режиме активного нагружения с постоянной скоростью перемещения захватов (10^{-4} — 10^{-5} мм/с). Внешнее электрическое поле прикладывалось к образцу с помощью контактов из индивидуальной амальгамы, нанесенной на боковые грани образца. Максимальная напряженность

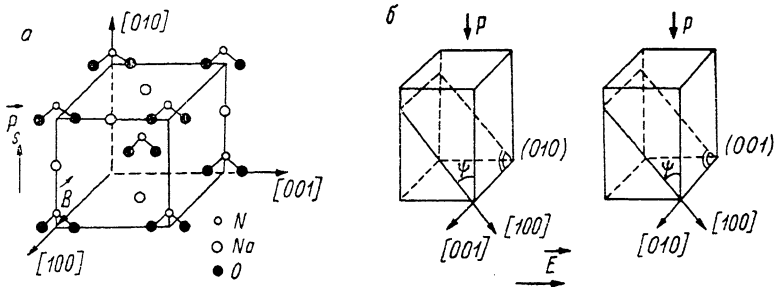


Рис. 1. Кристаллография скольжения в монокристаллах NaNO_2 (а) и два типа используемых образцов, деформирующихся по разным системам скольжения (б). Плоскости скольжения (010) и (001).

P_s — спонтанная поляризация, E — вектор напряженности электрического поля, P — сжимающая нагрузка.

поля $E=35$ кВ/см. Вследствие значительной гигроскопичности кристалла, создающей высокую поверхностную проводимость при комнатной температуре, опыты проводились при 310 К, что исключало возможный нежелательный разогрев кристалла при протекании тока. Термостатирование образцов осуществлялось с точностью ± 0.2 К.

2. Результаты экспериментов

Приложение электрического поля к деформируемым образцам показало, что ЭПЭ в нитрате натрия может наблюдаться и в отсутствие процессов поляризации и переполяризации. Так, на рис. 2 представлены из-

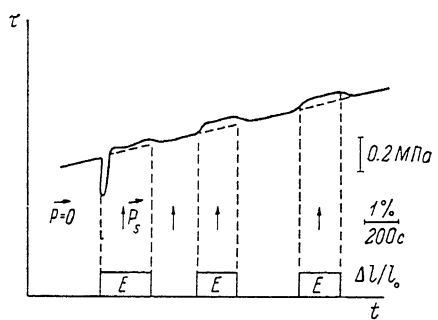


Рис. 2. Влияние электрического поля на диаграммы нагружения кристаллов NaNO_2 , деформируемых по системе скольжения (010)[100].

τ — сдвиговое напряжение в плоскости скольжения, $\Delta l/l_0$ — относительное изменение высоты образца. $E=30$ кВ/см. Стрелками условно показана спонтанная поляризация кристалла P_s .

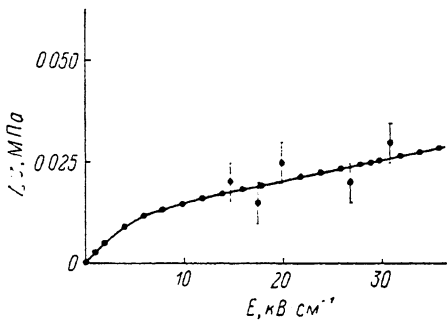


Рис. 3. Зависимость скачка напряжения течения $\Delta\tau$ кристаллов NaNO_2 от напряженности приложенного электрического поля E .

Сплошная кривая — теоретический расчет по формуле (5) при $q_0=3.7 \cdot 10^{-11}$ Кл/м, $n=10$.

менения диаграмм нагружения кристаллов NaNO_2 при деформации по системе (010)[100] в результате первичного (поляризующего) и повторных включений поля. Из рис. 2 видно, что помимо ЭПЭ (резкого начального провала на диаграмме) во внешнем электрическом поле наблюдается возрастание сдвигового напряжения τ на величину $\Delta\tau$; эффект исчезает при снятии поля и повторяется при каждом последующем его включении. Смена знака электрического поля на величине и знаке $\Delta\tau$ не сказывается,

но по мере увеличения напряженности поля E значение $\Delta\tau$ возрастает (рис. 3). В то же время в образцах с системой скольжения (001)[100] влияния поля на диаграммы нагружения обнаружено не было.

Следует заметить, что наблюдаемые значения $\Delta\tau$ невелики даже при напряженности $E=35$ кВ/см (рис. 3). Поэтому были проведены специальные опыты для оценки возможного вклада в величину $\Delta\tau$ пьезоэлектрического эффекта. Для этого электрическое поле прикладывалось к образцам на участке упругого нагружения кривой деформирования, однако никакого изменения напряжения при включении и выключении поля обнаружено не было. Полученный результат свидетельствует о том, что при использовании машины с малой жесткостью M (у нас $M=500$ кГс/мм) изменения размеров образца вследствие пьезоэффекта на диаграмме нагрузления не проявляется. Таким образом, наблюдаемые скачки $\Delta\tau$ являются следствием электроупругого эффекта.

3. Теоретический анализ электропластического эффекта

В настоящее время установлено [2-4], что прямые электропластические эффекты в щелочно-галоидных и полупроводниковых кристаллах в первую очередь являются следствием имеющихся у дислокаций электрических зарядов. Согласно [5], в сегнетоэлектриках дислокации определенных типов также должны обладать эффективным зарядом. Возникновение такого заряда, названного поляризационным, обусловлено наличием спонтанной поляризации P_s , у этих кристаллов. Величина линейной плотности q_p поляризационного заряда дислокации задается соотношением

$$q_p = P_s (\mathbf{B} \times \xi), \quad (1)$$

где \mathbf{B} — вектор Бюргерса; ξ — единичный вектор, касательный к дислокационной линии. Существование дислокационных зарядов этого типа

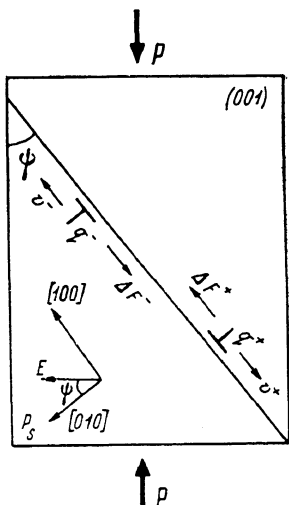


Рис. 4. Схема движения заряженных краевых дислокаций в системе скольжения (010)[100] NaNO_2 при включенном электрическом поле E . $q^-=|q_p|-|q_v|$, $q^+=|q_p|-|q_v|$.

было подтверждено экспериментально в [6] при исследовании электризации кристаллов NaNO_2 в процессе пластической деформации. Было показано, что в полном согласии с (1) краевые дислокации в системе скольжения (010)[100] кристаллов NaNO_2 несут поляризационные заряды величиной $|q_p| \approx 4 \cdot 10^{-11}$ Кл/м, а в системе (001)[100] у всех дислокаций $q_p=0$. Кроме того, выяснилось, что краевые дислокации в этих системах в процессе скольжения приобретают дополнительный «вакансийный» электрический заряд q_v , обусловленный захватом их ядрами катионных вакансий. Величину заряда q_v , которая одинакова для дислокаций разных механических знаков, можно оценить по данным [6] об электризации NaNO_2 в условиях неоднородной пластической деформации (при нагружении кристалла через клин). Однако в соответствующую расчетную формулу для q_v [8] входит плотность подвижных дислокаций, которую в случае NaNO_2 не удается определить экспериментально с достаточной точностью. Поэтому для заряда q_v можно найти только порядок величины (в системе (010)[100] $q_v \approx -(10^{-11} \div 10^{-10})$ Кл/м). Полный же заряд движущейся краевой дислокации в нитrite натрия в зависимости от ее механического знака равен $q^\pm = \pm |q_p| - |q_v|$.

Используем представления о дислокационных зарядах для объяснения обнаруженного электропластического эффекта в поляризованных (моно-доменных) кристаллах NaNO_2 , деформируемых по системе скольжения (010)[100]. При включении внешнего поля E (рис. 4) на заряженные краевые дислокации начинает действовать дополнительная сила электрического происхождения. Проекция этой силы на направление движения дислокации равна $\Delta F_e^\pm = (-|q_p| \pm |q_s|) E \sin \phi$, где ΔF_e^\pm дана в расчете на единицу длины дислокации соответствующего механического знака, а угол ϕ задает ориентацию плоскости скольжения в образце. Винтовые дислокации не имеют собственного электрического заряда, но их скольжение в плоскостях (010) сопровождается образованием новых краевых отрезков или поверхностных ступенек, несущих поляризационные заряды q_p , и совершением полем E определенной работы. Поэтому со стороны электрического поля на единицу длины винтовой дислокации действует обобщенная сила, имеющая проекцию $\Delta F_s^\pm = -|q_p| E \sin \phi$ на направление ее движения.

Строго говоря в приведенных для ΔF_e^\pm и ΔF_s^\pm формулах величина q_p поляризационного заряда краевой дислокации является функцией напряженности E приложенного поля. Изменение $\Delta q_p(E)$ исходной плотности q_p для любой дислокации описывается подобной (1) формулой

$$\Delta q_p(E) = (\beta E)(\mathbf{B} \times \boldsymbol{\xi}),$$

где β — тензор диэлектрической восприимчивости поляризованного кристалла. Однако, как показывают оценки, в случае NaNO_2 $\Delta q_p \ll q_p$ даже при максимальном значении E , использованном в экспериментах, так что полевой зависимостью заряда q_p можно пренебречь.

Электрические силы ΔF_e^\pm и ΔF_s^\pm стремятся изменить скорости движения v_e^\pm и v_s^\pm краевых и винтовых дислокаций. Поэтому в экспериментах, проводимых при фиксированном внешнем механическом напряжении (испытания на ползучесть), включение поля E должно сопровождаться изменением скорости сдвиговой пластической деформации

$$\dot{\gamma} = B(\rho_e^+ v_e^+ + \rho_e^- v_e^- + \rho_s^+ v_s^+ + \rho_s^- v_s^-), \quad (2)$$

где ρ_e^\pm , ρ_s^\pm — плотности подвижных краевых и винтовых дислокаций разных механических знаков. В интересующем же нас случае деформирования с постоянной скоростью перемещения захватов величина $\dot{\gamma}$ должна быть одинаковой до и после приложения электрического поля. Ясно, что выполнение этого условия возможно только при синхронном изменении напряжения течения кристалла τ . Изложенные соображения объясняют возникновение ЭПЭ в виде скачка напряжения $\Delta\tau(\bar{E})$ при активном нагружении образцов (рис. 2).

Количественное описание эффекта можно получить, модифицируя теорию ЭПЭ в щелочно-галоидных кристаллах, разработанную в [3]. Величину скачка $\Delta\tau$ будем рассчитывать из уравнения

$$\dot{\gamma}(\tau + \Delta\tau, E) = \dot{\gamma}(\tau, E = 0), \quad (3)$$

выражающего неизменность скорости пластической деформации $\dot{\gamma}$. Плотности подвижных дислокаций и скорости их движения при $E=0$ можно считать одинаковыми для дефектов положительного и отрицательного механического знака. Следуя [3], зависимости скоростей дислокаций от величины внешнего касательного напряжения τ , действующего в плоскости скольжения, представим в обобщенном виде

$$v_e^\pm \sim \exp[-G_e(\tau)/kT], \quad v_s^\pm \sim \exp[-G_s(\tau)/kT], \quad (4)$$

где G_e , G_s — энергии активации процесса движения дислокаций. При включенном поле E к напряжению τ в (4) добавляются скачок $\Delta\tau$ и вклад

$\Delta F_e^\pm/B$ или $\Delta F_s^\pm/B$ электрического происхождения. Подставляя (4) в (2) и используя (3), несложно получить искомое уравнение ЭПЭ в NaNO_2

$$x_e \exp \left[-\frac{\partial G_e}{\partial \tau} \frac{(\Delta \tau B - |q_p| E \sin \psi)}{kTB} \right] \operatorname{ch} \left(\frac{\partial G_e}{\partial \tau} \frac{q_v E \sin \psi}{kTB} \right) + \\ + x_s \exp \left[-\frac{\partial G_s}{\partial \tau} \frac{(\Delta \tau B - |q_p| E \sin \psi)}{kTB} \right] = 1, \quad (5)$$

где x_e , x_s — доли полного дислокационного потока, приходящиеся при $E=0$ на краевые и винтовые дислокации соответственно ($x_e+x_s=1$). При выводе (5) принималось, что плотности ρ_e^\pm и ρ_s^\pm подвижных дислокаций сохраняют свою величину непосредственно после перехода к новым скоростям движения дефектов в поле E , не вызывающем переполяризации кристалла. Кроме того, в соответствии с экспериментом (рис. 2) относительное изменение при ЭПЭ сил, действующих на дислокации, считалось малым параметром теории.

Исследуем уравнение (5). Если положить в (5) $q_v=0$, то оно будет иметь простое решение

$$\Delta \tau_p(E) = \frac{|q_p| E \sin \psi}{B}. \quad (6)$$

Формула (6) правильно предсказывает знак наблюдаемого ЭПЭ ($\Delta \tau_p > 0$), но расчетная величина скачка напряжения $\Delta \tau_p(E)$ примерно в три раза превышает экспериментальное значение. Следовательно, вклад в ЭПЭ, обусловленный вакансационной составляющей q_v дислокационных зарядов, оказывается существенным в количественном отношении. Вычислить $\Delta \tau(E)$ с приемлемой точностью при учете этого вклада не представляется возможным, поскольку плотность q_v , как указывалось выше, известна только по порядку величины. В этой ситуации целесообразно попытаться согласовать теорию с экспериментом путем подбора соответствующего значения q_v .

Для решения данной задачи необходимо оценить дислокационные характеристики, входящие в уравнение ЭПЭ. Если новые подвижные дислокации возникают путем размножения дислокаций по механизму двойного поперечного скольжения (что наиболее вероятно), то потоки краевых и винтовых дислокаций при $E=0$ будут примерно одинаковыми и можно положить $x_e=x_s=0.5$. Информацию о значениях производных $\partial G_e/\partial \tau$ и $\partial G_s/\partial \tau$ можно получить из экспериментальных данных [9] о скоростной чувствительности $\partial \tau/\partial \ln \dot{\gamma}$ напряжения течения нитрита натрия. Легко показать, что соотношение, связывающее эти характеристики, имеет вид

$$\partial G_e/\partial \tau + \partial G_s/\partial \tau = -2kT (\partial \tau / \partial \ln \dot{\gamma})^{-1}. \quad (7)$$

Поскольку (7) не достаточно для определения двух неизвестных величин $\partial G_e/\partial \tau$ и $\partial G_s/\partial \tau$, их отношение n будем использовать в качестве подгоночного параметра теории.

Численные расчеты скачка напряжения $\Delta \tau(E)$, выполненные по формулам (5) и (7) при $\partial \tau / \partial \ln \dot{\gamma} = 0.04$ МПа, показали, что теория правильно описывает полевую зависимость $\Delta \tau(E)$ (рис. 3) при $n \geq 5$ и $g_v(n) = -(3.5 \div 3.9) \cdot 10^{-11}$ Кл/м. При этом значение n в указанной области практически не влияет на форму кривой $\Delta \tau(E)$. Подчеркнем, что найденная величина плотности вакансационного заряда слабо зависит от выбора n и согласуется с оценкой $q_v = -(10^{-11} \div 10^{-10})$ Кл/м, вытекающей из экспериментальных данных о деформационной электризации кристаллов NaNO_2 [6].

Полученное для параметра $n = (\partial G_e/\partial \tau) / (\partial G_s/\partial \tau)$ неравенство $n \geq 1$ можно предположительно объяснить следующим образом. Величина $(-\partial G/\partial \tau)_T$ представляет собой кажущийся активационный объем процесса термоактивированного движения дислокаций, который, как известно [10], уменьшается с ростом эффективного напряжения $\tau^* = \tau - \tau_*$, действующего

на дислокацию. При скольжении индивидуальных дислокаций в условиях, когда внутренние дальнодействующие напряжения τ_e отсутствуют ($\tau_e^* = \tau_s^* = \tau$), обычно имеет место соотношение $v_e \gg v_s$ для скоростей краевых и винтовых дислокаций [11]. При деформировании же кристаллов с большой плотностью дислокаций $v_e \approx v_s$ [10]. На основании изложенных фактов можно заключить, что в последнем интересующем нас случае $\tau_e^* \ll \tau_s^*$. Отсюда вытекает требуемое неравенство $|\partial G_e / \partial \tau| \gg |\partial G_s / \partial \tau|$.

На основании результатов исследования можно заключить, что упрочнение кристаллов нитрита натрия в электрическом поле, возникающее при деформации по системе скольжения (010) [100], обусловлено поляризационными зарядами дислокаций. Наличие же вакансационной составляющей дислокационных зарядов проявляется в уменьшении уровня упрочнения по сравнению с величиной $\Delta \tau_p$, ЭПЭ поляризационной природы. Невозможность изменения знака эффекта при смене полярности приложенного поля объясняется тем, что в этом случае вектор спонтанной поляризации P_s кристалла, естественно, также переориентируется и поляризационные заряды дислокаций, согласно (1), приобретают знаки, противоположные исходным. В свою очередь отсутствие ЭПЭ при деформации NaNO_2 по системе скольжения (001) [100] связано с нулевой величиной поляризационных зарядов в этой системе (вектор P_s лежит в плоскости скольжения) и сравнительно малым вакансационным зарядом краевых дислокаций. Последний, по данным измерения деформационного электрического тока [6], оказывается на порядок меньше, чем у краевых дислокаций в системе (010).

Таким образом, представления о дислокационных электрических зарядах объясняют все экспериментальные данные, полученные в настоящей работе для поляризованных монокристаллов NaNO_2 . Становится понятной и причина качественного отличия ЭПЭ в этом сегнетоэлектрическом кристалле от эффекта разупрочнения в электрическом поле щелочно-галоидных кристаллов, где дислокации имеют только вакансационный заряд. Выполненное в работе сопоставление теории и эксперимента позволяет также оценить полные заряды краевых дислокаций разных механических знаков, движущихся в системе скольжения (010) [100] NaNO_2 : $q^- \approx -8 \cdot 10^{-11}$, $q^+ \approx +0.5 \cdot 10^{-11}$ Кл/м.

Авторы благодарны А. Г. Зембильготову за помощь в проведении численных расчетов.

Список литературы

- [1] Николаев В. И., Смирнов Б. И. // ФТТ. 1985. Т. 27. № 11. С. 3369—3372.
- [2] Осипьян Ю. А., Петренко В. Ф. // ЖЭТФ. 1975. Т. 69. № 4. С. 1362—1371.
- [3] Whitworth R. W. // Phys. St. Sol. (a). 1976. V. 38. N 1. P. 299—304.
- [4] Куличенко А. Н., Смирнов Б. И. // ФТТ. 1981. Т. 23. № 4. С. 1029—1033.
- [5] Перцев Н. А. // ФТТ. 1988. Т. 30. № 9. С. 2805—2814.
- [6] Николаев В. И., Перцев Н. А., Смирнов Б. И. // ФТТ. 1988. Т. 30. № 10. С. 2996—3001.
- [7] Николаев В. И., Смирнов Б. И., Иванцов В. А. // ФТТ. 1985. Т. 27. № 8. С. 2519—2521.
- [8] Kataoka T., Colombo L., Li J. C. M. // Phil. Mag. A. 1984. N 3. P. 409—423.
- [9] Николаев В. И. // Автореф. канд. дисс. Л., 1988.
- [10] Смирнов Б. И. Дислокационная структура и упрочнение кристаллов. Л., 1981. 236 с.
- [11] Надгорный Э. М. // Несовершенства кристаллического строения и мартенситные превращения. М., 1972. С. 151—175.